

中国沿海环境变迁

赵希涛 著

海洋出版社

中国沿海环境变迁

赵希涛 著

海 洋 出 版 社

1994 年 · 北京

内 容 简 介

本书是《中国海岸演变研究》一书的姐妹篇，共收入近10年来发表在不同刊物与著作中选出的论文11篇和一篇新撰写的国家自然科学基金课题学术总结。书中涉及北京平原古地理，中国的贝壳堤，福建莆田的海岸沙丘岩，中国与全球海面变化研究的进展与新模式，江苏建湖庆丰与阜宁西园两剖面的沙坝-泻湖体系发育、风暴沉积与海岸沙丘的发现及其对气候变迁、海岸演化和海面变化的反映，以及中国全新世与现代海面变化的历史、特征及其未来趋势与影响等内容。本书既有对区域性、全国性乃至全球性海面变化等问题的分析、概括与总结，又有对小区域、单个剖面或地质事件的深入、细致研究，及其所获得的具有较高精度与分辨率的年均温与海面变化曲线，因而对研究沿海与陆架晚第四纪地层与年代，滨海沉积的成因及沉积与成岩作用，古植被与古气候，河湖发育、海岸演化，及海面变化的历史、趋势和影响等地质与环境问题，均有一定参考价值。

本书主要供地貌、第四纪地质、海洋地质与环境地质工作者，从事沿海与海洋工农业建设的人员和有关院校师生参考。

(京)新登字087号

中 国 沿 海 环 境 变 迁

赵希涛

*

海洋出版社出版、发行(北京市复兴门外大街1号)

地质矿产部河北测绘制印中心印刷

787×1092/16 11.25印张 270千字

1994年3月第一版 1994年3月第一次印刷

印数：1-500

*

ISBN 7-5027-1027-2/P·336

定价：18.00元

前 言

本书是《中国海岸演变研究》(赵希涛, 1984a) 的姐妹篇。自该书问世以来的整整 10 年间, 中国沿海与陆架晚第四纪地质与环境研究, 无论在理论的广度与深度上, 还是在实际的应用上, 都取得了长足的进步。作者在这一时期所发表的近百篇论文, 即是这些成果的一部分。本书所选编的 12 篇论文, 从一个侧面反映了中国沿海晚第四纪环境变迁, 特别是全新世海岸演化和海面变化研究所取得的新进展。

本书主要包括如下几方面内容:①北京平原晚第四纪古地理演变(赵希涛等, 1984; Zhao *et al.*, 1984), 涉及沉积地层的 ^{14}C 年代, 平原地貌单元划分及其发育历史, 植被演替与气候变化, 作为侵蚀基准面的海面变化对河流侵蚀与堆积作用的影响, 从而否定了北京平原在古或早全新世曾受海侵波及而形成“北京湾”的可能性(赵希涛等, 1985)。②对中国贝壳堤的分布, 地貌与沉积特征, 所含生物化石组合, ^{14}C 年代测定, 贝壳堤形成条件及其对晚更新世末期以来的古海岸线变迁和海平面变化的反映作了较系统、全面的概括和总结(赵希涛, 1986; Zhao, 1987, 1989)。研究表明, 晚更新世末期、中全新世前期与全新世后半期所形成的贝壳堤, 分别分布在大陆架、沿海平原向陆侧和向海侧的不同地貌部位上。③从内部与外部几何学, 沉积与变形构造, ^{14}C 年代测定, 沉积与成岩作用等方面研究了福建莆田后石井海拔 22~38m 的石英-生物砂屑灰岩, 认为它们乃是中全新世末盛行东北季风所形成的海岸沙丘胶结成岩的海岸沙丘岩, 而不是“高位海滩岩”, 古今季风的盛行风向并未发生明显的变化, 因而不能将它们用作讨论海面变化或地壳垂直运动的直接依据(赵希涛等, 1986, 1988, 1989; Zhao *et al.*, 1989, 1990; Zhao, 1988; Zhao & Goldsmith, 1989)。④为筹备与执行国家自然科学基金委员会与中国科学院联合资助的大型项目《中国气候与海面变化及其趋势和影响的初步研究》(1988~1992), 主持该项目海面变化课题的本书作者及课题组成员对国内外数以千计的海平面变化研究文献进行了分析与归纳, 以作为自身的借鉴。本书从《中国 ^{14}C 年代学研究》(仇士华等, 1990) 和《全球海面变化》(赵希涛等, 1992c) 二书中选出部分章节, 以介绍我国 70 年代后期至 80 年代海陆变迁与海面变化研究所取得的进展(赵希涛、张景文, 1990; Zhao, 1993b), 和介绍人类对海面变化科学认识的发展及海面变化研究的最新理论与模式(赵希涛, 1988, 1989, 1992; 赵希涛等, 1992d)。⑤系统、反复和深入地研究了我国沿海迄今所发现的全新世地层完整性与连续性最好, 反映植被演替、气候变迁、海岸演化和海面变化最为敏感, 且富含可供进行属种鉴定与生态分析的宏体与微体化石及 ^{14}C 测年与磁性地层研究样品的江苏省建湖县庆丰剖面(赵希涛等, 1990a, b, 1991a, 1994; 赵希涛、吴学忠, 1991; 赵希涛、王绍鸿, 1993; Zhao *et al.*, 1993a)。经过密集采样与多项目的室内分析测试, 从而获得了具有较高精度与分辨率(样品的年龄间距达 13~160 年)的全新世年均温与海面变化曲线, 发现了 10 000 年来气温与海面至少有 7 次明显的波动, 并再一次确定了全新世高温期或大暖期($8.5\sim 4.0\text{kaBP}$)与高海面时期($7.5\sim 4.0\text{kaBP}$)的存在, 但前者开始要比后者为早。可以认为, 庆丰剖面是中国以至全球沿海全新世海面变化的一个典型与代表性剖面。在对苏北平原中部最西一道贝壳砂堤——阜宁县西园西冈的研究中(赵希涛等,

1991b, 1992a, b; Zhao et al., 1993b), 发现了中全新世的风暴沉积和淤泥质滨海平原上的海岸沙丘, 前者构成滨外沙坝的主体, 后者由风成砂-古土壤序列及丘间泥炭组成并叠覆于前者之上。西园剖面以海面变化与风暴作用的事件为特征, 它与代表坝后泻湖的庆丰剖面共同构成了苏北平原中全新世沙坝-泻湖体系。庆丰与西园剖面的深入解剖, 标志着我国全新世海岸演化与海面变化研究达到了新的高度(赵希涛、王绍鸿, 1992; Zhao & Wang, 1993)。⑥在《中国海面变化及其趋势和影响的初步研究》一文中, 概述了同名课题所获得的主要成果。它不仅反映了我国全新世与现代海面变化研究达到了新的水平, 而且表明在未来海面变化趋势和影响研究等实践领域也取得了显著进展。

本书以论文的写作与发表的时间次序安排。除删节个别重复内容外, 尽量保持文章的原貌, 即使某些观点现在看起来必须修正者也不例外, 以便读者把握作者认识事物的过程和当时的背景。为规格统一起见, 本书补齐了各文的摘要与关键词, 并将各文后的参考文献统一编排置于书后, 还重新制作了图版。由于本书和它的姐妹篇中的一半文章已以《Holocene Coastal Evolution and Sea-Level Changes in China》(Zhao, 1993a) 为题专集出版, 故本书不再附英文书名与目录。

最后, 借本书出版的机会, 向王绍鸿、沙庆安、张景文、唐领余、鲁刚毅、李波及其他共同参加野外与实验室工作及文章撰写的诸位同仁, 向一直大力支持作者研究工作的国家自然科学基金委员会和作者所在单位中国科学院地质研究所, 向关心作者海面变化研究的施雅风、林观得先生, 向为本书出版付出辛勤劳动的本所出版组诸位同事, 表示衷心的感谢!

赵希涛

1994年3月25日于北京

目 录

北京平原 30 000 年来的古地理演变	1
关于北京平原全新世海侵问题的商榷	13
中国贝壳堤发育及其对海岸线变迁的反映	18
福建莆田海岸沙丘岩—— I . 沉积构造与古风	32
福建莆田海岸沙丘岩—— II . 沉积和成岩作用	42
中国海陆变迁与海面变化的 ^{14}C 年代学研究	50
人类对海面变化科学认识的发展	74
全球海面变化的近期模式	82
江苏建湖庆丰剖面全新世地层及其对环境变迁与海面变化的反映	92
江苏阜宁西园全新世风暴沉积与海岸沙丘的发现及其意义	101
江苏建湖庆丰剖面全新世气候变迁和海面变化：中国沿海的一个典型实例	109
中国海面变化及其趋势和影响的初步研究	122
参考文献	151
图版	167

北京平原 30 000 年来的古地理演变^①

摘要 本文根据地貌、沉积层序、动植物化石及其所反映的古气候，以及 ^{14}C 年代测定结果，将北京平原地区晚第四纪地层划分为 6 个时段，并较详细地记述了 30 000 年来本区古地理演变的历史及各地理要素之间的相互作用。

关键词 地貌类型 晚第四纪 地层 古地理

长期以来，北京平原地区的第四纪地质与古地理研究，一直得到人们的重视，并取得了长足的进展（叶良辅，1920；侯仁之，1955；胡长康，1959；周昆叔，1965；周昆叔等，1978；张青松等，1976；中国科学院地质研究所 ^{14}C 实验室，1974；北京市区域地层表编写组，1977；贾兰坡等，1977；国家地震局地质研究所 ^{14}C 实验室，1978；中国社会科学院考古研究所实验室，1979；中国社会科学院考古研究所实验室、国家地震局地质研究所 ^{14}C 实验室，1980；黄万波，1979；黄万波、陈方吉，1980；陈方吉，1979；原思训等，1980；孔昭宸、杜乃秋，1980；孔昭宸等，1982；张子斌等，1981；严富华等，1981；王乃梁等，1982）。20年来，作者对北京的地貌、沉积地层及其年代，以及地壳运动等方面做了较多的联系生产的研究工作，取得了较丰富的实际资料。本文从地理环境是一个有机的整体，各因素互相影响、互相制约、对立统一，和现今的地理环境是历史发展的必然结果等观点出发，分析与综合了本区 30 000 年来古地理各主要组成部分的演变历史及其相互作用。

1 地貌类型

北京平原位于华北平原的西北缘，西、北及东北三面分别为太行山、军都山和燕山及其支脉所环绕。北京平原是由从这些山脉流出的永定河、潮白河、温榆河、拒马河、大石河及泃河等大小河流及支沟联合作用堆积而形成的。从山麓到平原，北京平原可以分成如下几个地貌类型（图 1）。

1.1 残丘

在北京西山、北山向平原的延伸部分，有一系列海拔 50~200m 的基岩残丘。它们的面积一般仅几平方公里至十几平方公里。由于长期风化剥蚀，故山顶圆浑，山坡平缓，有基岩风化壳发育与坡积碎石及黄土状物质堆积。

1.2 坡积裙

在基岩山地向平原过渡的山麓地带，广泛分布着第四纪不同时期形成的坡积裙，有全

^①本文与孙秀萍、张英礼、黄兴根合作写成。

新世碎石与细土，晚更新世类黄土夹碎石，中更新世微红色类黄土夹碎石，局部地区坡积物下还有残留的基岩风化壳。在某些地势较平坦地段，有时能保存不甚典型的灰黄色马兰黄土及浅棕黄色含埋藏土壤层的砾石黄土。

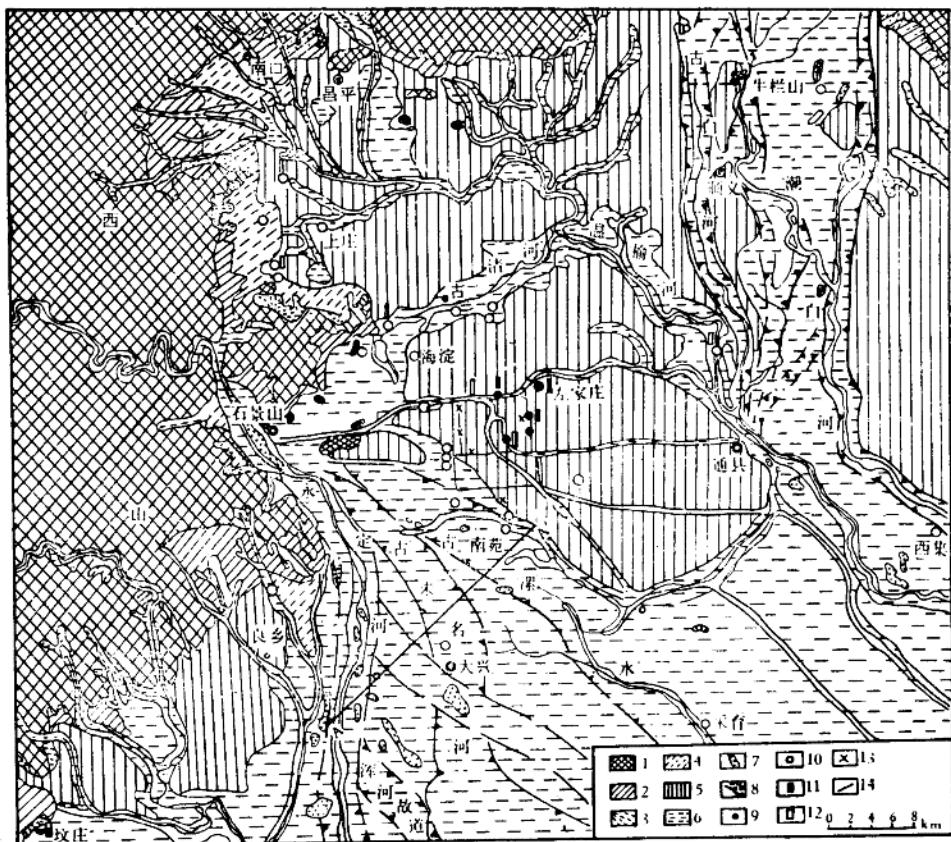


图 1 北京平原地貌类型图

- 1. 基岩山地与残丘；2. 洪积台地；3. 洪积扇；4. 洪积扇缘洼地；5. 冲积台地；6. 冲积平原；7. 沙丘与沙地；
- 8. 古河道；9. 晚更新世 ^{14}C 样品地点；10. 全新世 ^{14}C 样品地点；11. 晚更新世孢粉地点；12. 全新世孢粉地点；
- 13. 晚更新世哺乳动物化石地点；14. 图 2 剖面线。

1.3 洪积台地、洪积扇及其前缘洼地

在由山地流向平原的小河与沟谷出口处，广泛发育着上新世以来形成的几级洪积台地与近代洪积扇。如在南口虎峪地区，不仅发育有中、晚更新世形成的两级洪积台地，全新世早中期与现代两期洪积扇，甚至还有龙虎台、红泥沟等处成片的上新世洪积扇的残余堆积物。晚更新世时期形成的洪积台地，几乎分布于所有山麓小河与沟谷出口处。这些台地在近山部分大多由粗大的砂砾石夹少量黄土状物质组成。砾石分选、磨圆较差，离山愈远，砾石变细，分选、磨圆变好，砾石层厚度变薄，砂土物质厚度加大。近代洪积扇往往

包括全新世早中期与晚期两期，也有的是全新世以来一直连续发育的一期。在近山麓地带，全新世晚期发育的洪积扇表面因经常受洪水影响故植被不发育，而全新世早中期发育的洪积扇表面，已多被农业利用。在近代洪积扇前缘的地下水溢出带，以粘性土为主，地面低洼，地层中往往发育泥炭或有机质淤泥。

1.4. 冲积台地

永定河、潮白河、温榆河等较大河流，是构成北京平原沉积物的主要输送者。这些河流大多由西北流向东南，少数由北向南或东北向西南，形成了大小不等的一系列冲积扇。这些冲积扇互相连接，形成了面积达数千平方公里的冲积平原。地层中所含动、植物化石及¹⁴C样品的年代测定结果，证明它们是晚更新世晚期形成的。由于后期河流的下切与侧蚀，这些冲积扇已变成冲积台地。北京平原的主要冲积台地有永定河冲积台地、潮白河冲积台地和温榆河冲积台地。此外，还有拒马河、大石河、沟河等冲积台地，但面积较小。

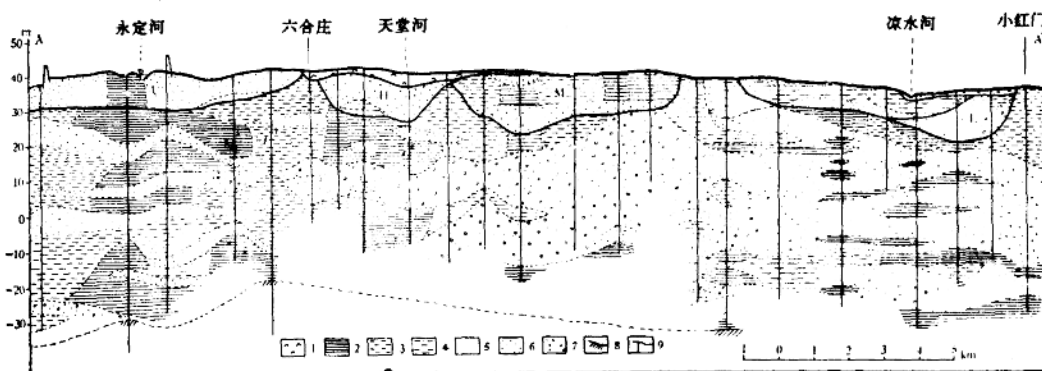


图 2 六合庄-小红门地质剖面图

1. 人工填土；2. 粘土；3. 亚粘土；4. 亚砂土；5. 粉砂；6. 砂；7. 砂砾；8. 基岩；9. 钻孔；U. 永定河；L. 淳河故道；M. 古未名河；L. 古漂水。

1.5 古河道

本文所指的古河道，系指古代的永定河、潮白河等河的河道，现已迁走或只留下一些与宽广谷地很不相称的断头小河者，它们往往连水系也发生了变化（图 1, 2；孙秀萍、赵希涛，1982）。

1.6 冲积平原

在北京城区以南与东南，永定河、温榆河与潮白河以及它们的古河道，在切过冲积台

地之后，将其沉积物在台地外围堆积下来，联合形成了宽广的近代冲积平原。该冲积平原西北部顶点为永定河出山口处石景山附近。在东北部，该冲积平原与相当宽广的潮白河谷地连为一体。该平原向东南方向展开，前缘界线已伸出北京市。该平原地表低平（小于0.1%），河道曲折，故河道易于变迁，洪水泛滥后，形成若干沙丘与洼地，其中沙丘呈长条状分布，多达6~7条。

在上述堆积地貌类型中，除面积十分有限的上新世及中更新世洪积物与残坡积物所组成地貌类型以外，其它地貌类型均可归属于如下两大地貌面：①晚更新世晚期的洪积台地与冲积台地；②全新世洪积扇及其前缘洼地、冲积平原、古河道及现代河谷。由于前一地貌面坡度较大，故与后一地貌面的高差由山麓向平原逐渐减少，最后终于倾伏于后者之下。

2 地层年代

根据组成不同地貌类型的沉积物的岩性特征与层序，各沉积地层中所含丰富的哺乳动物与其它动植物化石（贾兰坡等，1977；孙秀萍、赵希涛，1982）及孢粉（图3），特别是在地层中所采集的大量¹⁴C样品的年代测定结果（表1），现将北京平原晚第四纪地层划分为六个时段。

2.1 第一段(30 000~23 000aBP)

分布于洪积台地与冲积台地的下部。如在永定河冲积台地，该段地层位于地面之下大约8~12m左右，沉积物以河流相砂砾石为主，有时夹灰色粘性土。本层中所发现的哺乳动物化石均属晚更新世披毛犀^{Coelodonta antiquitatis}——猛犸象^{Mammuthus primigenius}动物群的主要成员（孙秀萍、赵希涛，1982）。孢粉分析表明，当时古植被为以云杉^{Picea}、冷杉^{Abies}为主的针叶林，如太阳宫剖面10m处（图3）及乐新居剖面8.19~11.63m段（周昆叔等，1978）。

2.2 第二段(23 000~15 000aBP)

分布于洪积台地与冲积台地表层，及洪积扇前缘洼地全新统下伏地层的下部。在永定河冲积台地，为地表至深8m左右，沉积物以河湖相亚砂土、亚粘土和粘土为主，植被为草原以至荒漠草原，如安定门与太阳宫剖面，为以藜^{Chenopodiaceae}、蒿^{Artemisia}为主的草原；东直门与积水潭剖面，为以蒿、藜为主的草原；乐新居剖面，为以蒿、菊^{Compositae}为主的草原等（图3；周昆叔等，1978）。这些剖面中，均含有少量的松^{Pinus}、云杉等木本植物花粉。

2.3 第三段(15 000~10 000aBP)

主要见于洪积扇前缘洼地全新统下伏地层的上部。在坟庄剖面地表下4.7~7.7m处，沉积物主要是沼泽相泥炭、淤泥层，植被为以云杉、落叶松 *Larix* 为主的针叶林及椴 *Tilia*、桦 *Betula*、栎 *Quercus* 为主的落叶阔叶林(孔昭宸、杜乃秋，1980)。

表1 北京平原¹⁴C样品年代测定结果

地貌类型	编号	地点与层位	试 料	¹⁴ C 年龄 [*] (aBP)	文 献
冲积台地	ZK 578	通县平疃，地下60m	炭屑	>40 000	A
	CG 40	东城区雅宝路地下12m	木头	>32 000	B,C
	ZK 237	北京饭店，地下13m	木头	29 300±1 350	D
	CG 35	北京饭店，地下13m	木头	26 020±490	E
	ZK 610	安定门，地下6.35~6.48m	淤泥	21 330±500	A
	ZK 782B	安定门，地下6~6.3m	亚砂土	22 460±1 200	本文
	ZK 782A	安定门，地下5.5~5.68m	亚粘土	24 400±1 200	本文
	ZK 104	太阳宫，地下4~4.2m	淤泥	19 210±320	本文
	ZK 889	东直门，地下5m	木头	17 070±300	本文
	ZK 575	清河洼里，地下1.7~2m	淤泥	15 390±1 200	A
洪积扇及其前缘洼地	ZK 606	房山长沟坟庄，地下12~12.2m	泥炭	22 700±1 200	A
	ZK 595	坟庄，地下8.52~8.7m	泥炭	17 900±600	A
	ZK 594	坟庄，地下7.7~7.75m	泥炭	13 100±200	A
	ZK 593	坟庄，地下6.84~6.89m	泥炭	11 850±200	A
	ZK 513	坟庄，地下4.5~5m	泥炭	10 750±150	A
	ZK 592	坟庄，地下4.74~4.79m	泥炭	10 120±150	A
	ZK 512	海淀高里掌，地下4.65~5.8m	泥炭	9 930±150	A
	ZK 574	高里掌，地下3~3.6m	泥炭	8 980±120	A
	ZK 605	高里掌，地下2.6m	泥炭	3 410±110	A
	GC 255	海淀前沙涧，地下2.5m	泥炭	2 700±110	1)
	GC 254	前沙涧，地下2m	泥炭	1 400±100	1)
	CG 119	海淀辛力屯，地下1.9~2.2m	泥炭	1 750±150	A

表 1 (续)

地貌类型	编号	地点与层位	试 料	^{14}C 年龄 [*] (aBP)	文 献
古 河 道	ZK 214	海淀上庄, 地下 5m	木头	9 530±230	本文
	BK 77040	清河仓营, 地下 4m	木头	7 220±110	F
	ZX511	清河洼里, 地表	淤泥	5 460±100	A
	CG 197	平谷韩屯, 地下 1.8~2.2m	淤泥	5 280±105	A
	CG 196	韩屯, 地下 0.8~1.2m	淤泥	2 280±105	A
		通县尹各庄, 地下 1.7m	木头	4 990±120	F
	CG 210	顺义西府北, 地下 1.8~2.6m	泥炭	4 730±115	A
	CG 209	西府北, 地下 1.4~1.8m	泥炭	3 490±110	A
	ZK 615	朝阳垡头, 地下 4.5~5.05m	淤泥	4 685±100	A,B
	ZK 614	右安门鹤凤营, 地下 4.3~4.7m	淤泥	4 530±90	A,B
	CG 208	怀柔桃山, 地下 5.8~6.2m	泥炭	4 510±110	A
	CG 207	桃山, 地下 5.2~5.6m	泥炭	3 530±110	A
	ZK 613	左安门首都染厂, 地下 7~7.8m	淤泥	4 420±90	A,B
	ZK 596	丰台老庄户, 地下 4.8~5m	泥炭	4 340±90	A
	ZK 611	广安门二热电站, 地下 4.30~4.7m	淤泥	3 595±100	A,B
	ZK 508	海淀玉泉山南, 地下 4m	泥炭	3 170±130	A
冲 积 平 原	CG 203	顺义下坡村, 地下 5.7~7.5	泥炭	2 710±105	A
	CG 202	下坡村, 地下 4.9~5.7	泥炭	2 530±100	A
	ZK 509	海淀肖家河, 地下 1.85~4.41m	泥炭	2 125±90	A
	CG 214	平谷东高村, 地下 4~4.5m	淤泥	2 110±95	A
	CG 201	平谷普贤屯, 地下 4.3~5.1m	淤泥	1 725±105	A
	CG 200	普贤屯, 地下 3.5~4.3m	淤泥	1 410±95	A
	BK 77047	广安门二热电站, 地下 5m	木头	1 620±90	G
	BK 77048	永定门外大红门, 地下 5m	木头	1 420±85	G
	BK 75053	紫竹院公园, 地下 6.5m	木头	1 390±80	2)
	BK 77045	西便门白云观, 地下 5.5~6m	木头	1 290±85	G
冲 积 平 原	CG -	大兴县城北, 地下 3.2~4m	钙质结核	9 895±125	本文
	BK 77046	通县西集, 地下 15.5~16m	木头	8 250±125	G
		大兴采育, 地下 5.6m	木头	8 120±177	3)
	ZK 658	通县小甸屯, 地下 5.05~5.2m	淤泥	7 290±130	D
	ZK 616	南苑, 地下 7.8~8.4m	淤泥	4 245±90	A

* ^{14}C 半衰期多为 5 730a, 其中编号为 CG 者为 5 568a; A 中国社会科学院考古研究所实验室, 国家地震局地质研究所 ^{14}C 实验室, 1980; B 孙秀萍、赵希涛, 1982; C 中国科学院地质研究所 ^{14}C 实验室, 1974; D 中国社会科学院考古研究所实验室, 1979; E 国家地震局地质研究所 ^{14}C 实验室, 1978; F 北京市区域地层表编写组, 1977; G 原思训等, 1980; 1) 中国科学院地球化学研究所, ^{14}C 年代数据汇编, 1970; 2) 北京大学历史系考古专业 ^{14}C 实验室测定; 3) 中国科学院古脊椎动物与古人类研究所 ^{14}C 实验室测定。

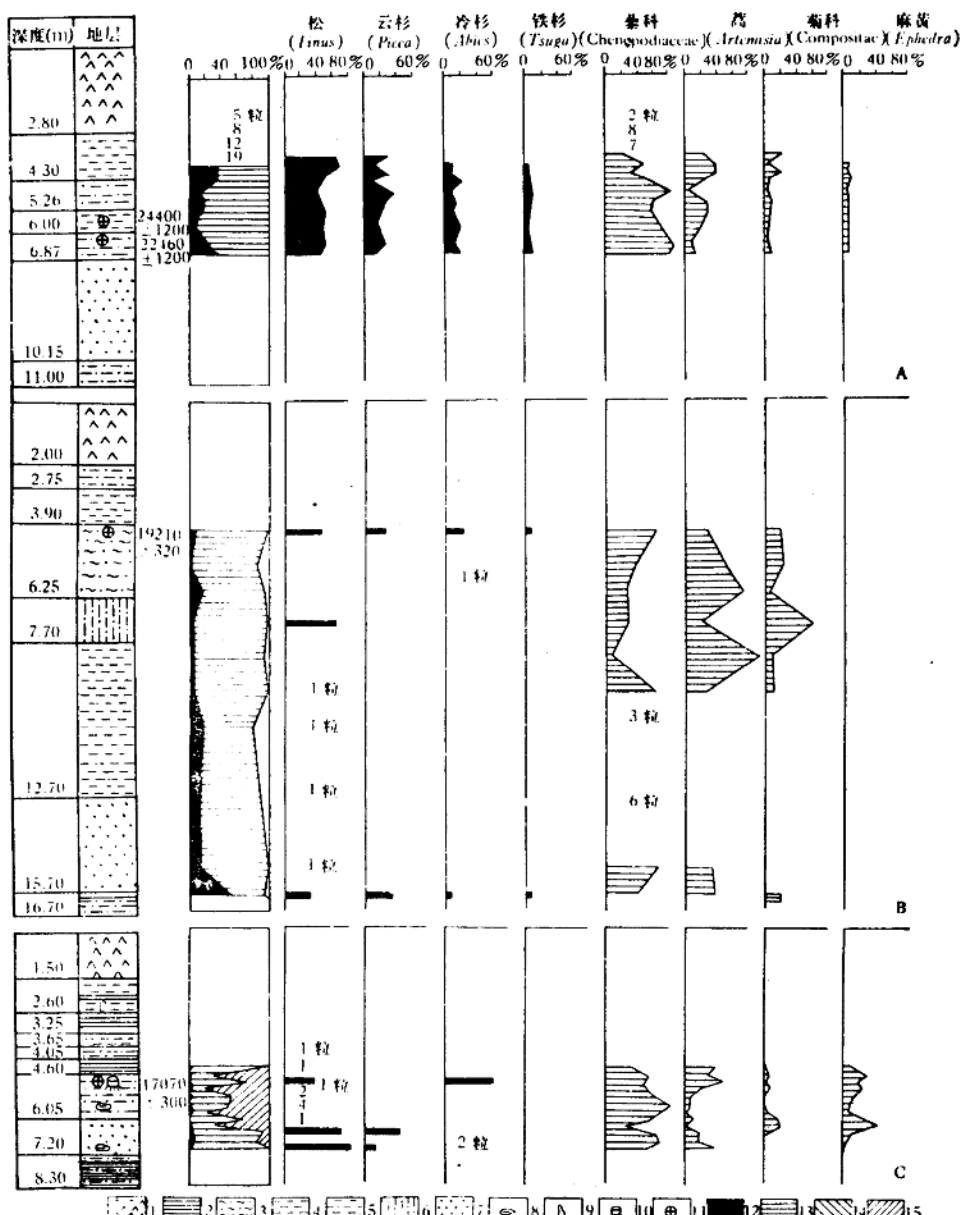


图3 北京安定门(A)、太阳宫(B)和东直门(C)三剖面的孢粉谱

1. 填土; 2. 粘土; 3. 淤泥; 4. 亚粘土; 5. 亚砂土; 6. 黄土状土; 7. 砂; 8. 粘土砾石; 9. 钙质结核; 10. 木头; 11. ^{14}C 样品; 12. 木本花粉; 13. 草本花粉; 14. 孢子; 15. 蕊类

2.4 第四段(10 000~7 500aBP)

分布于洪积扇及其前缘洼地、古河道及冲积平原的下部。地层埋藏深度随地貌部位而变化，在洪积扇前缘洼地，一般仅2~6m，在古河道或冲积平原，一般为6~12m或更多。沉积物以河流相砂、亚砂土、亚粘土为主，夹沼泽相泥炭层或有机质淤泥层。孢粉分析表明，当时植被已由落叶阔叶林退缩，再次被以蒿、菊为主的草原所代替，山区或山麓仍有松及云杉、冷杉等组成的针叶林（孔昭宸、杜乃秋，1980；孔昭宸等，1982）。

2.5 第五段(7 500~2 500aBP)

分布于洪积扇及其前缘洼地、古河道和现代河道及冲积平原的近地表部分。除近山口段沉积物较粗外，粒度一般较细，以亚砂土、亚粘土与粘土为主。在洪积扇前缘洼地及古河道中，沼泽相泥炭、淤泥层十分发育，有的成为良好的泥炭矿层。孢粉分析表明，当时植被为以栎、桦、榆 *Ulmus* 及松为主的落叶阔叶林或针阔混交林，特别在前半期，阔叶树种占优势，末期松属增加（孔昭宸、杜乃秋，1980；孔昭宸等，1982）。

2.6 第六段(2 500aBP 以来)

分布于洪积扇及其前缘洼地、古河道、现代河道及冲积平原的表层。沉积物以砂砾、砂、亚砂土、亚粘土为主，离山愈远，粒度愈小。泥炭层很少，仅见于该段地层下部。孢粉分析表明，植被为以松为主的针叶林或针阔混交林，蒿、藜、菊等草本植物比重明显增加（孔昭宸等，1982）。

至此，可将组成北京平原的若干典型沉积剖面进行对比（图4）。

3 古地理演变

根据上述资料，现将北京平原30 000a来的古地理演变的历史及其机制简要叙述如下（图5）：

3.1 30 000~23 000aBP时期

为晚玉木冰期的前期，气候冷湿。在北京平原及邻近山区，覆盖着以云杉、冷杉为主的针叶林，并有披毛犀、猛犸象等喜冷动物生长其间。对比含云杉、冷杉等针叶林孢粉地点与现今同类植被分布地点的海拔高度与生态环境，可知当时年平均气温约比现今北京平原年平均气温11.8℃低约7~8℃。由于水量充足，植被覆盖率较高，故泥沙来量较少而河流的搬运能力较强，故二者处于相对平衡状态。因此，在近万年的时间内，仅在现今冲积台上堆积了厚约4m的沉积层，且多为粗大的砂砾沉积，细土物质较少。

3.2 23 000~15 000aBP 时期

为晚玉木冰期最盛期，气候寒冷而干燥。本区植被为以蒿、藜为主的草原，局部时段甚至为荒漠草原，仅在邻近山区有零星针叶植物生长。动物群仍为猛犸象-披毛犀动物群，但化石数量不及上一时期多。由于气候干冷，植被稀疏，故机械风化与寒冻风化十分强烈，在四周山区产生了大量的碎石物质，也从广大西北内陆地区吹来较多的尘土物质——黄土，加之当时河流水量减少，故河流的搬运能力远不足以搬走进入河流的泥沙，从而产生了旺盛的堆积作用。在这近万年的河流加积时期，不仅在北京山区形成了著名的马兰砾石层上部，并在后期的河流切割下形成了著名的气候阶地——马兰阶地（Andersson, 1939；王乃梁，1965；赵希涛、曲永新，1981），而且在平原上形成了一系列洪积扇和宽广的冲积扇的主体。在永定河冲积扇，其上部8m左右为此时期形成。从冲积扇表面坡度达2‰，远较现今冲积平原为大的情况看，当时的堆积作用相当旺盛。尽管当时海平面大幅度下降，在15 000aBP达-150~-160m之多（赵希涛等，1979a），但因当时海岸线推进到东海大陆架的外缘，与本区直线距离远达1 000km以上，故基面的下降并未对本区河流的活动带来明显的影响。

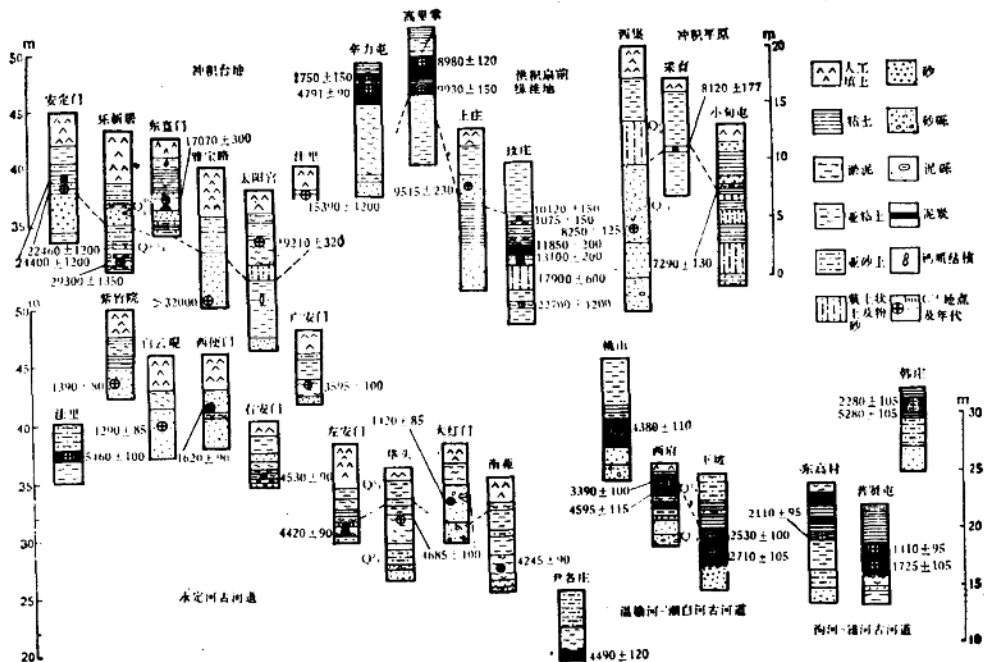


图4 北京平原晚第四纪地层剖面对比图

3.3 15 000~10 000aBP 时期

为晚玉木冰期晚期，气候转暖，冰消作用迅速进行，湿度增大。北京平原及邻近山区重新覆盖以松、云杉、冷杉为主的针叶林或森林草原。由于风化岩屑来源减少，河流的径

流量增加，加之海面下降所引起的溯源侵蚀的影响已到达本区（尽管当时海面已由15 000aBP的-150~-160m迅速回升到10 000aBP的-30~-40m）。因此，河流的搬运能力开始超过来沙量，从而发生了大规模的侵蚀作用。上一时期形成的洪积扇与冲积扇被河流深深切割达10~20m或更多，从而变成了洪积台地与冲积台地。这些新形成的河流，就是前述的古河道。在这一侵蚀作用为主的时期，堆积作用仅在河流与沟谷出山口附近的近代洪积扇及其前缘洼地所在部位上进行，局部积水洼地处有少量泥炭层发育。

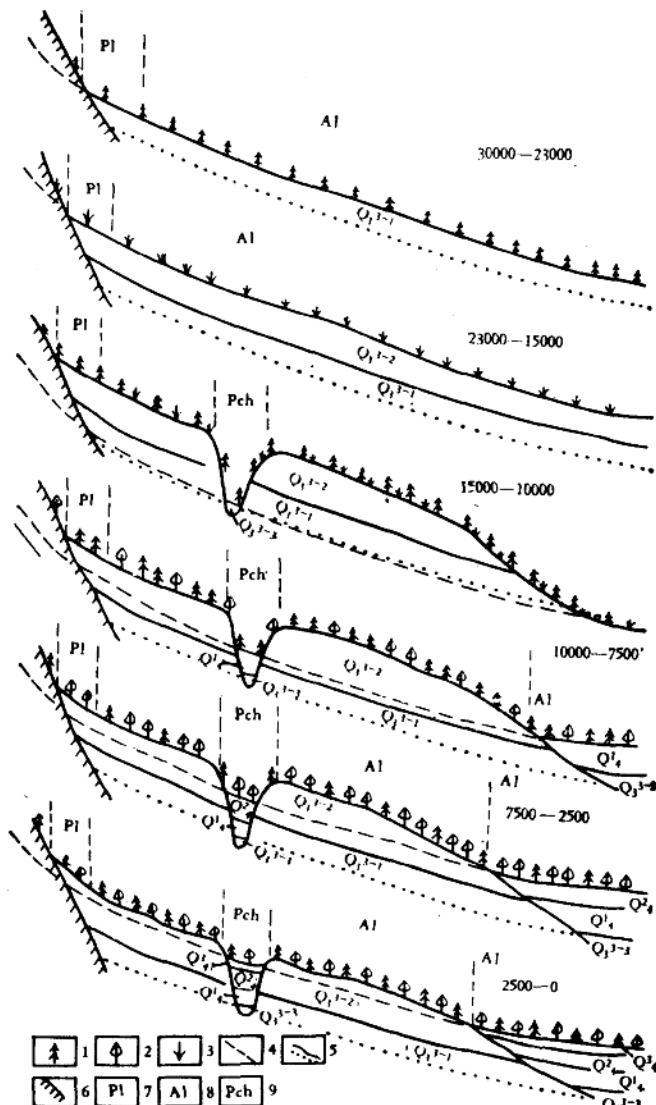


图5 北京平原30 000年来古地理演变示意图

1. 针叶树；2. 落叶阔叶树；3. 草本植物；4. 河流纵剖面；5. 地层界线；6. 山区；7. 洪积扇与洪积台地；8. 冲积平原与冲积台地；9. 古河道

3.4 10 000~7 500aBP 时期

全球性冰川作用已经消退，本区气候也已回暖。在温和与较湿润的气候下，本区生长着以松为主的针叶林或针阔混交林，有时有以蒿、藜、菊为主的草原。当时海面已从-30~-40m 处回升到现今海面附近^①。河流的来沙量与它的搬运能力在新的条件下达到了新的平衡，在冲积台地中下切的河流已形成了稳定的河道，并堆积着河床与河漫滩相沉积，在牛轭湖与洪积扇前缘洼地中发育了较多的泥炭层。在冲积台地外围，近代冲积平原已开始形成。

3.5 7 500~2 500aBP 时期

气候温暖潮湿，特别前半期最为适宜，故称“气候最宜时期”。在暖湿的气候下，本区植被繁茂，生长着栎、桦、落叶松等落叶阔叶林或针阔混交林，河流水量丰沛，水网密布。海面波动在现今海面上下（Zhao & Zhang, 1982）。侵蚀基面的上升使河床相应抬高。在本区，近代洪积扇、冲积台地中的河流与冲积平原继续发育，河流比降的减少有利于曲流的发育。在气候、水、植被等条件都相当适宜的条件下，泥炭层在河流的牛轭湖及洪积扇前缘洼地中普遍发育。

3.6 2 500aBP 以来时期

气候较上一时期凉爽和稍干。本区植被为以松为主的针阔混交林。泥炭层的发育因气候变干，水域面积缩小，特别是人类活动的影响而逐渐停止。海平面在微微波动中总体略有下降（赵希涛等，1979a）。在潮白河这类泥沙来源不十分充足而其流经地区地壳在总体下沉中具有相对微弱抬升的地段，河流保持稳定，甚至略有下切，故在河谷中形成了3~5m 的一级河流阶地。而在泥沙来量巨大的永定河，特别是历史时期人类的生产活动与战争对上游山区植被的破坏，使水土流失现象日益严重，故上游来沙量剧增，而基面的微小下降又不足以带走全部来沙，故永定河冲积台地上的一系列河流日渐淤塞，改道。17世纪初，永定河改走今道，公元 1698 年筑堤并命名。短短的 300 年左右，永定河已成地上河。永定河泛滥的泥沙，不仅与潮白河、温榆河-北运河等共同形成了北京东南面广大冲积平原，且其决口时堆积在平原上的泥沙还常常改造成沙丘。因此，在研究地理环境变迁时，不仅要看到各自然因素的相互影响、相互制约，而且要看到人类活动的巨大影响。

4 结论

从以上古地理演变的历史与原因分析中可以看出：

^①有的文献根据金鱼胡同鲸骨“化石”的发现，推论古或早全新世海侵曾波及北京（陈方吉，1979；黄万波、陈方吉，1980），作者另有专文（赵希涛等，1985）讨论北京平原是否遭受全新世海侵问题。